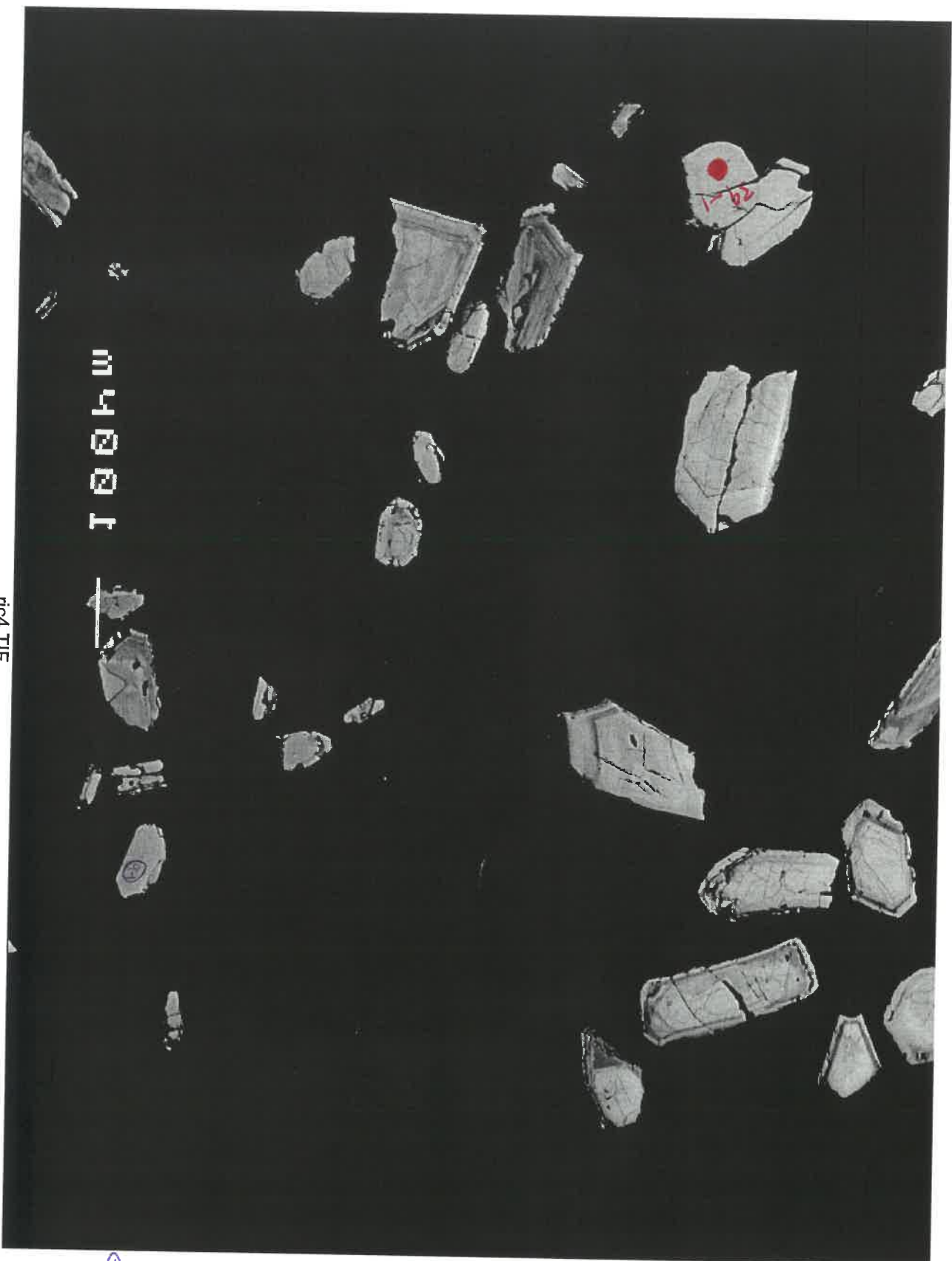


Population C: BSE images

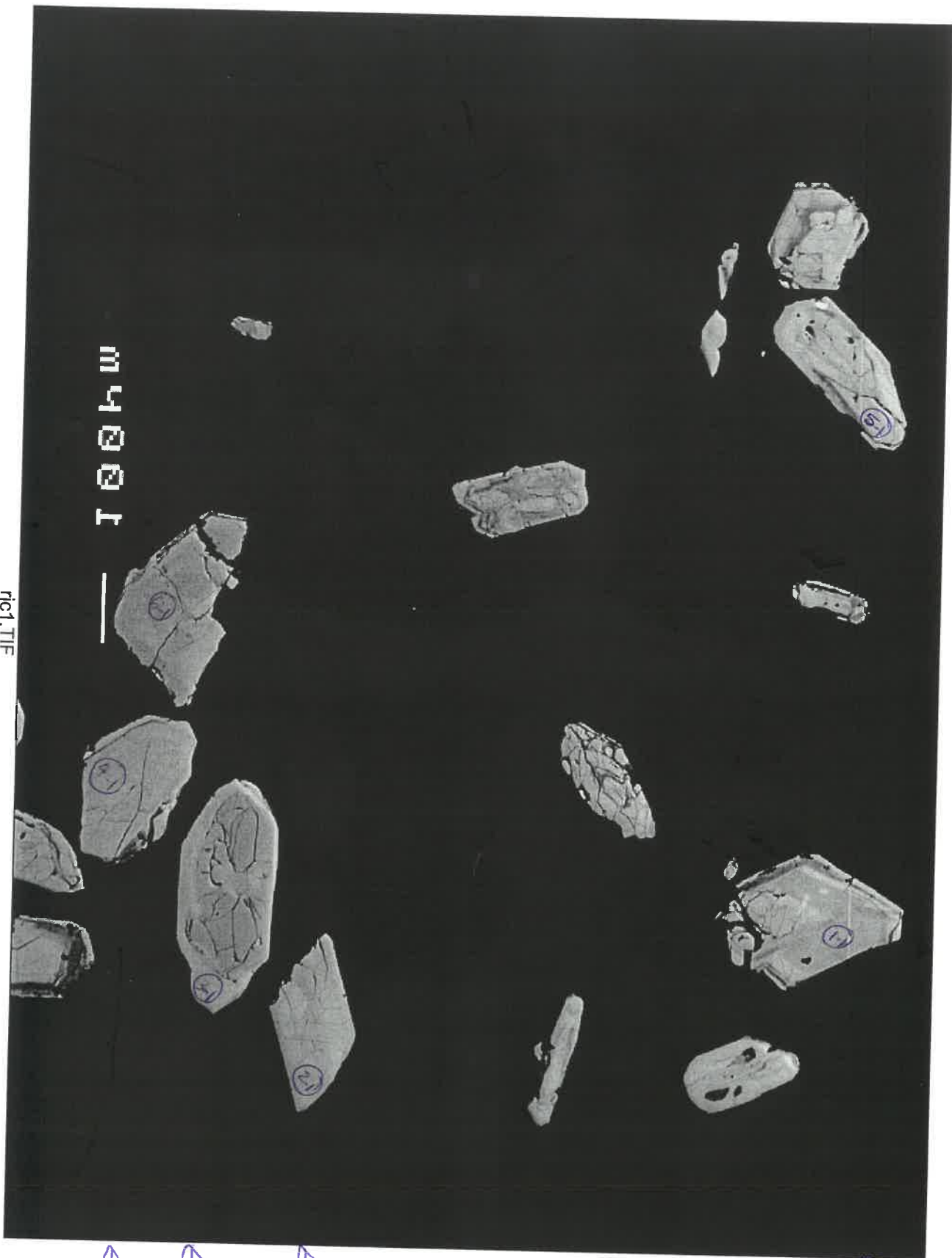


Population C: BSE images

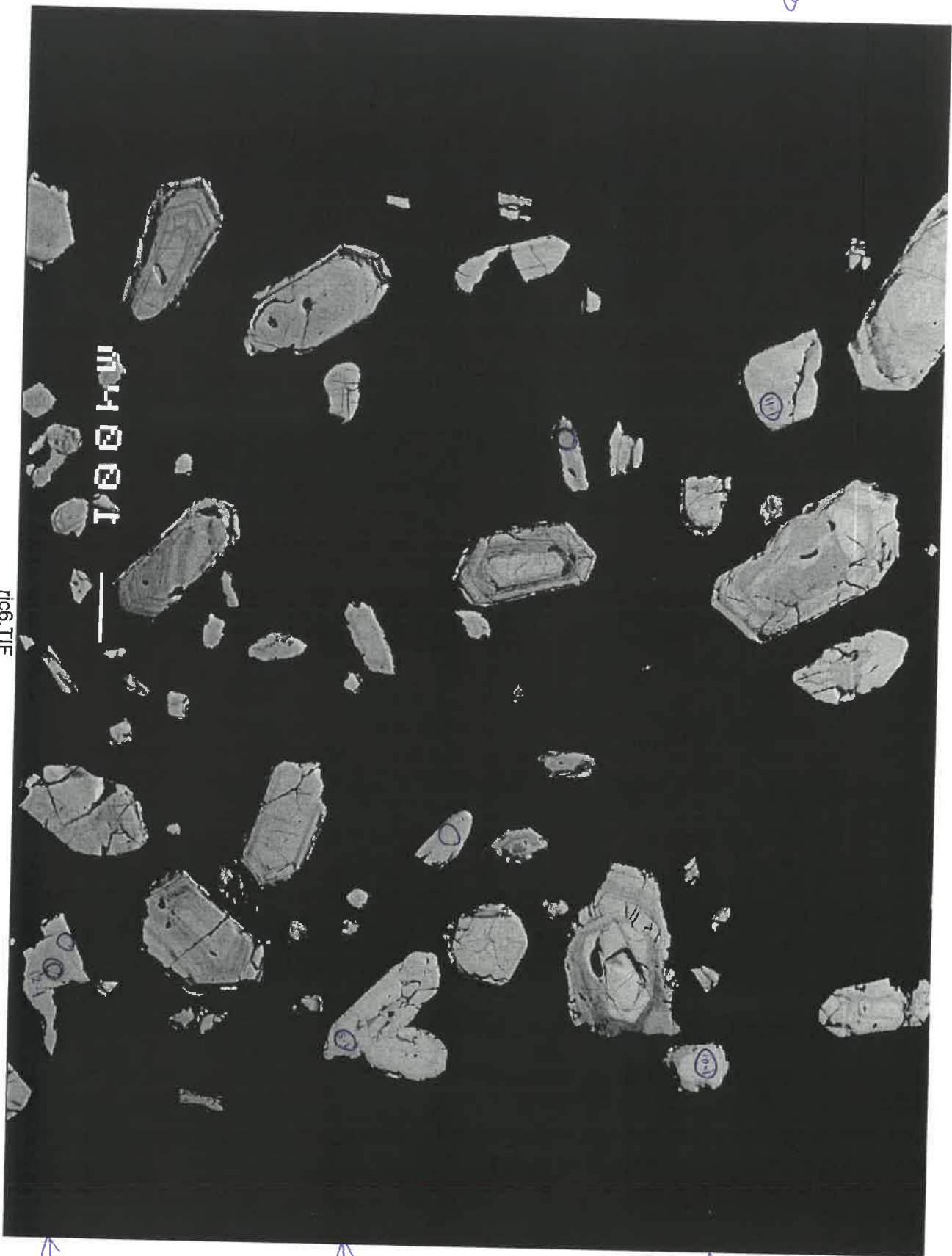


< 9-1
5% disc.
~ 2641 ± 22

Population C: BSE images



Population C: BSE images



Population C: BSE images

13-1
2654±8



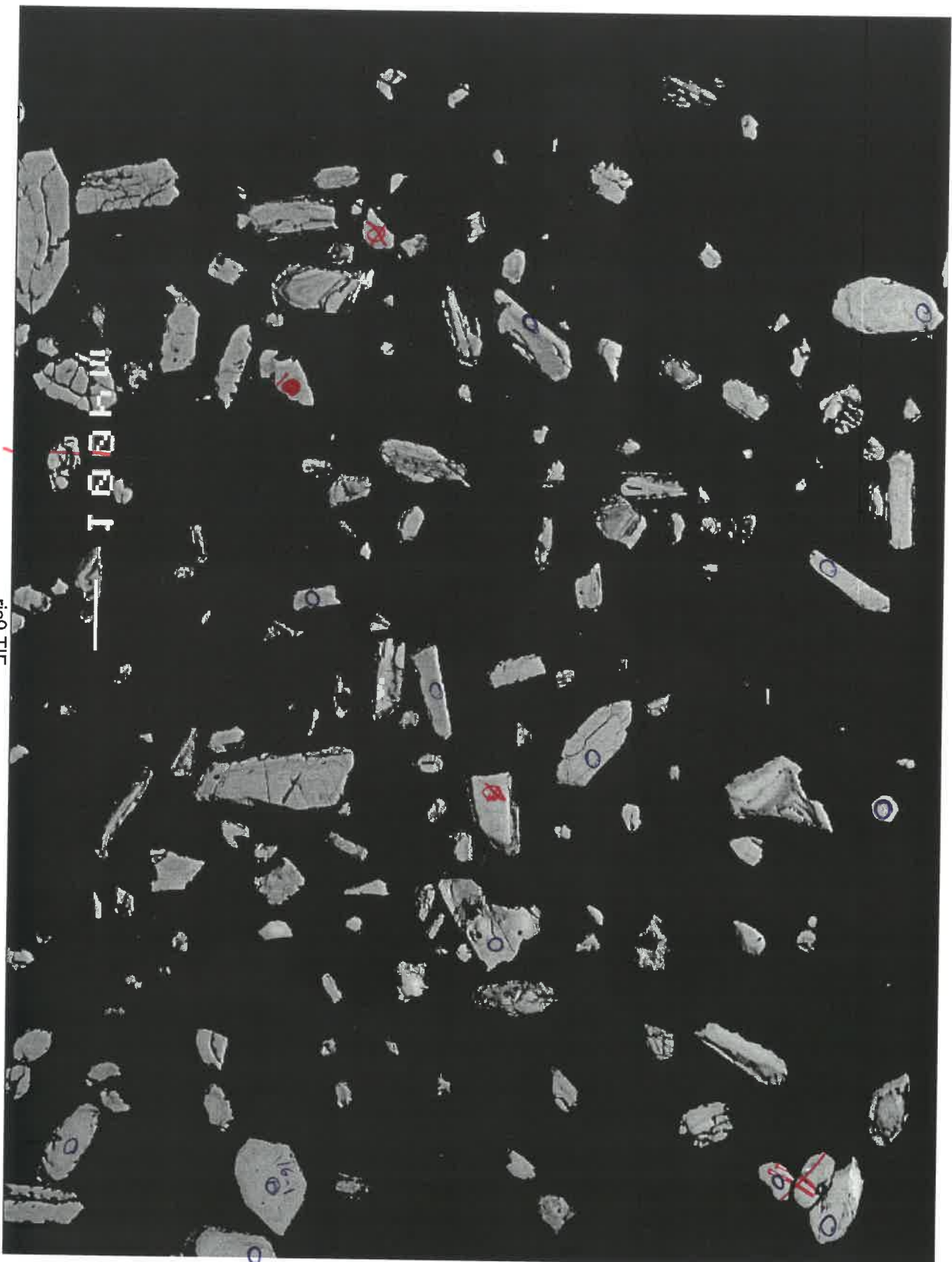
14

rjc7.tif

Population C: BSE images



Population C: BSE images

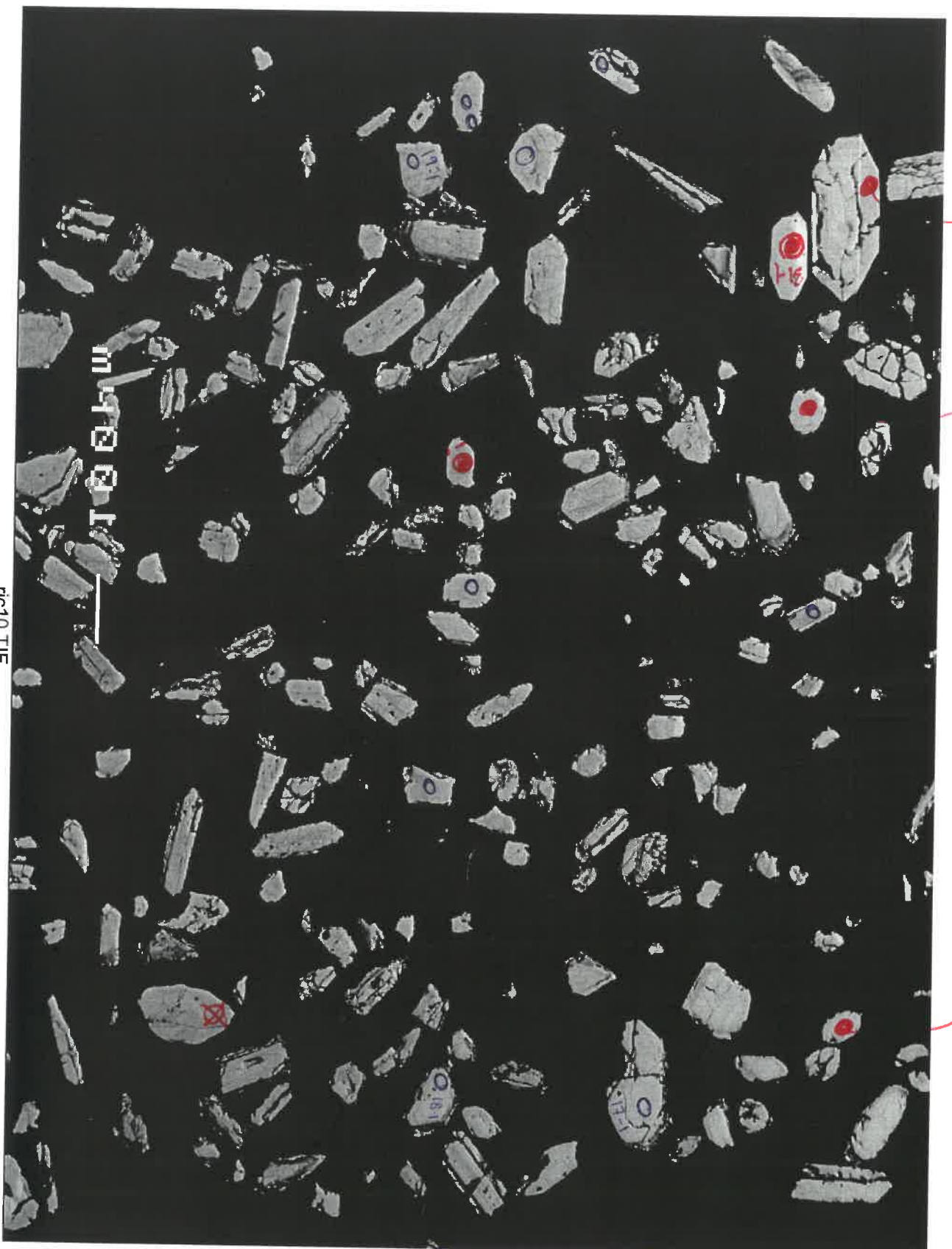


← 16-1
2686±7

1-S8-

rjc9.TIF

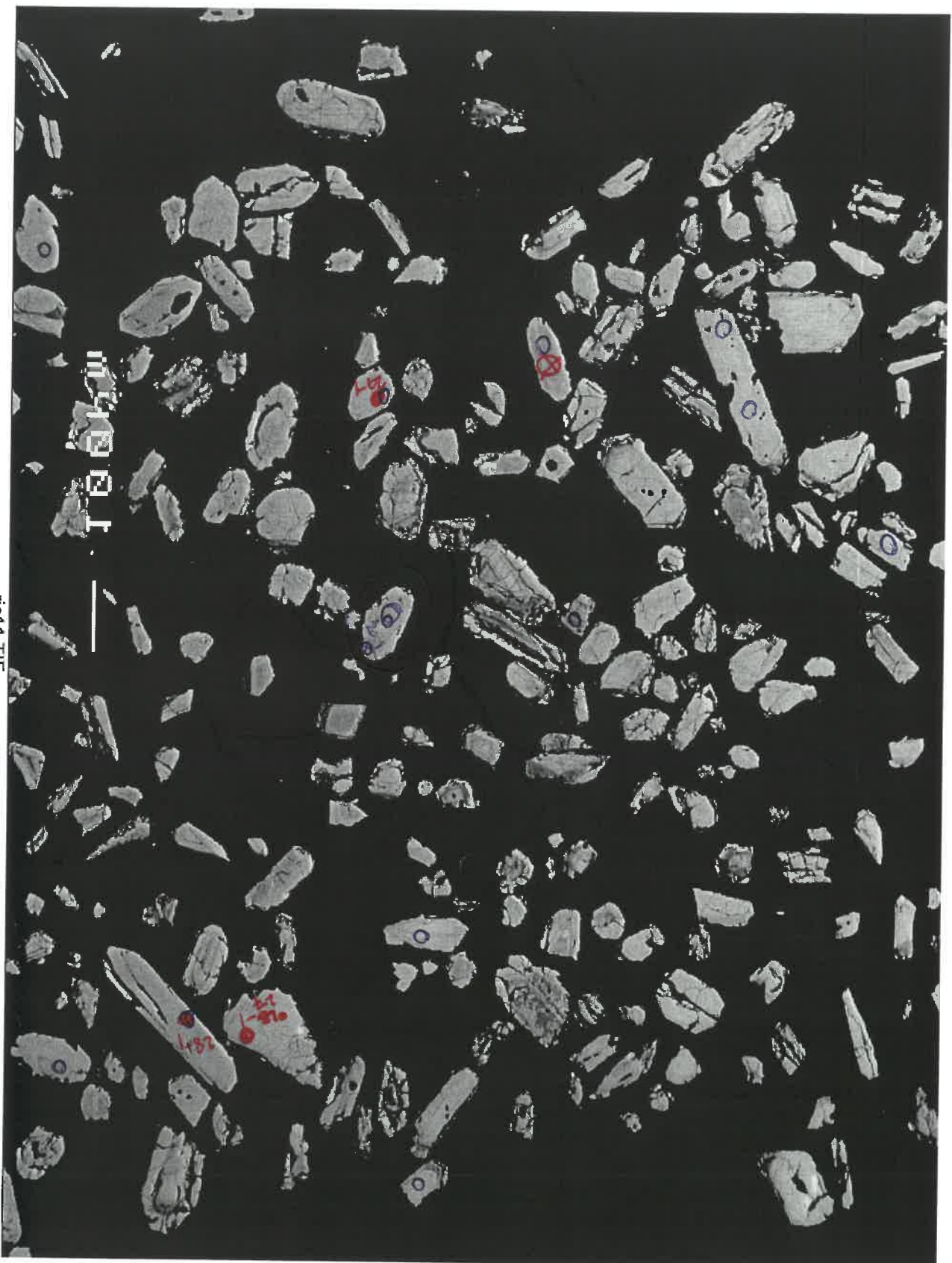
Population C: BSE images



← 17-1
2632 ± 7

18-1
2640 ± 7

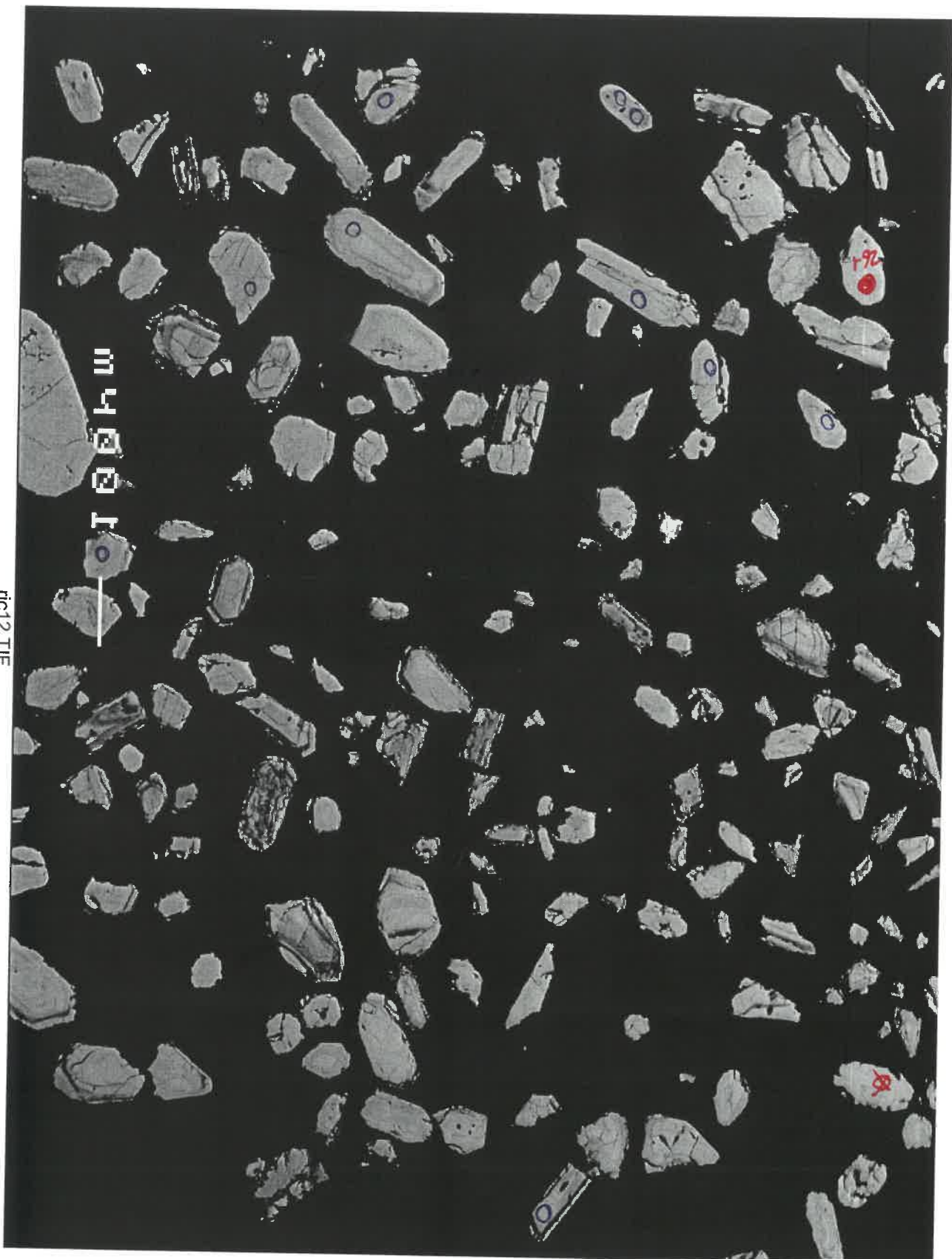
Population C: BSE images



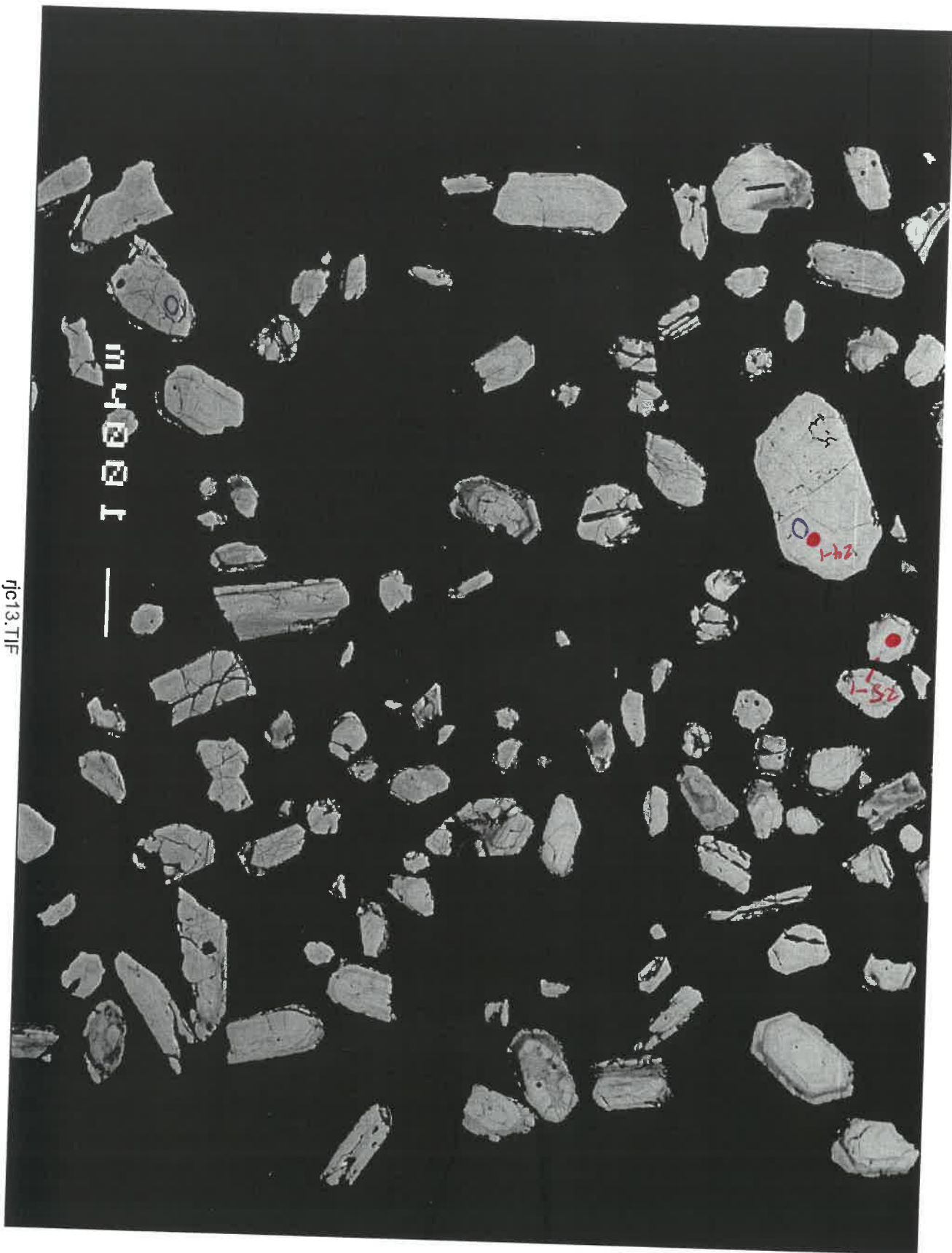
20-
-disc

rjc11.TIF

Population C: BSE images



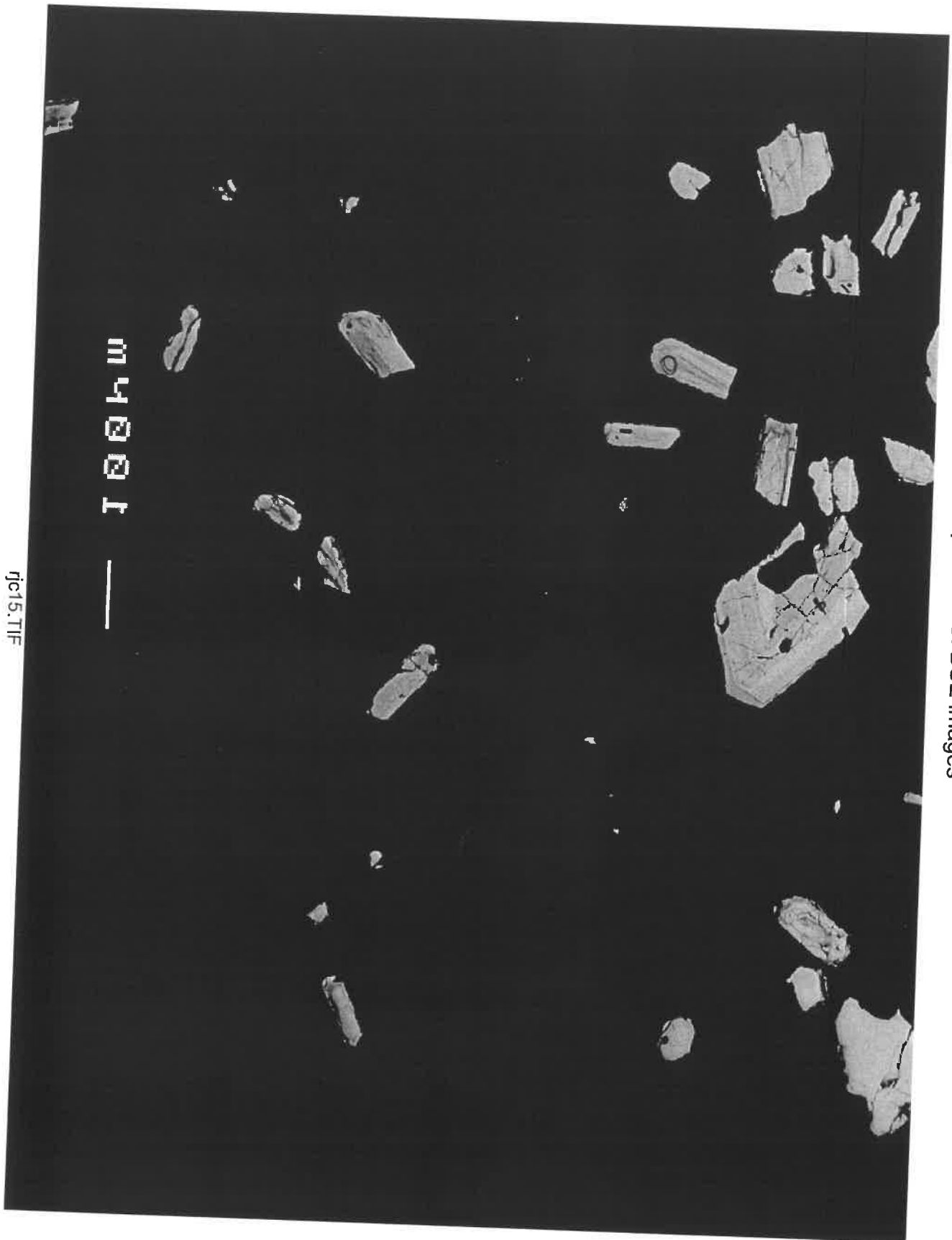
Population C: BSE images



Population C: BSE images

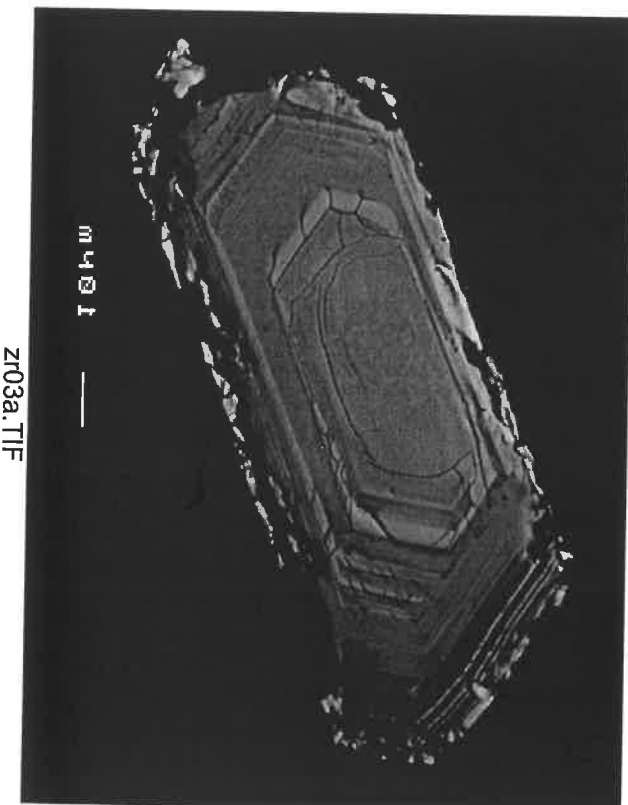
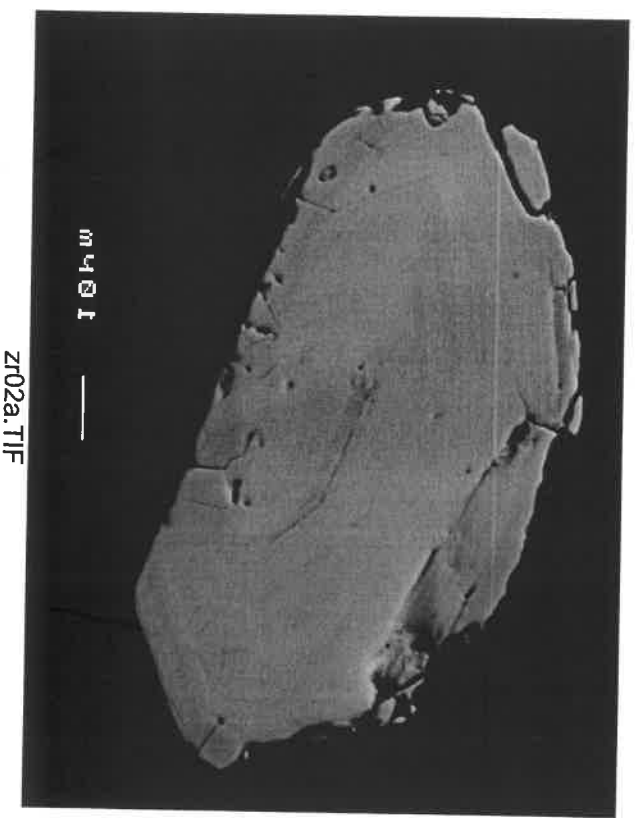
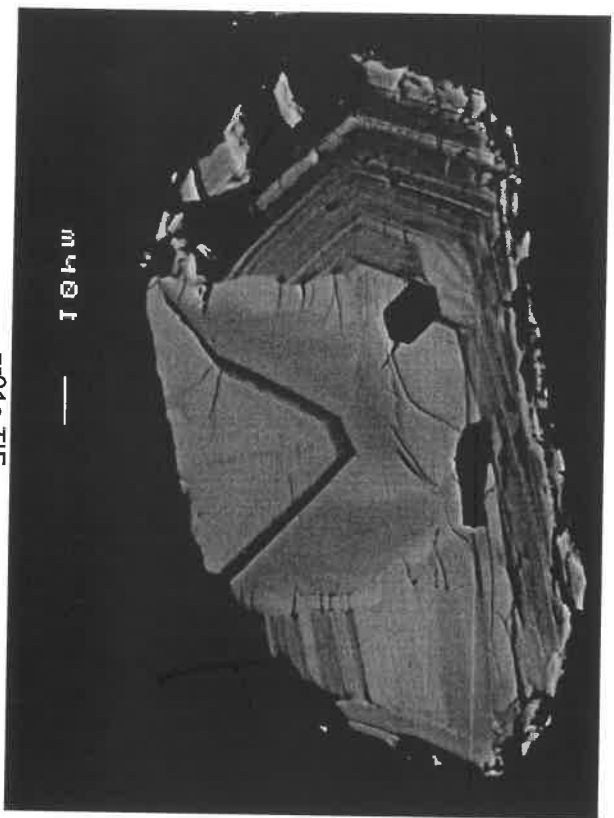


Population C: BSE images

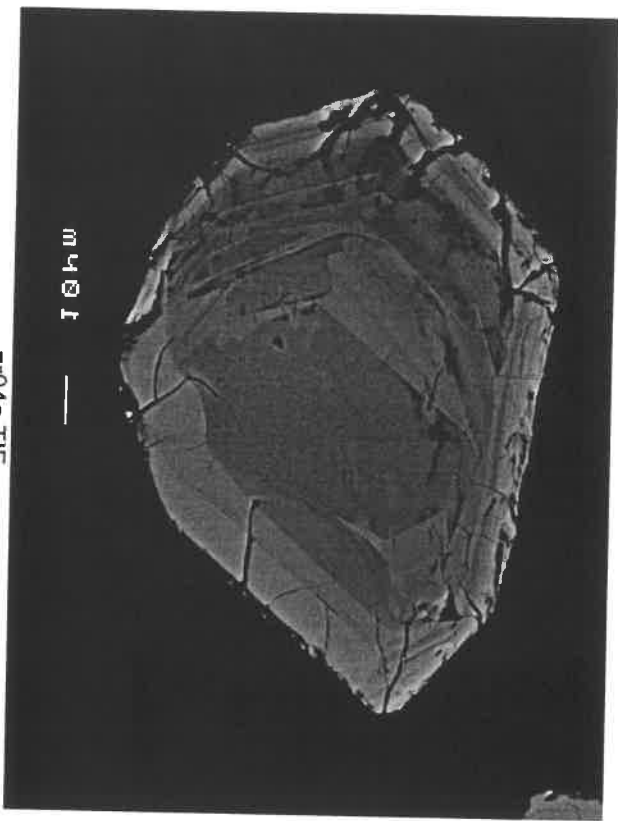
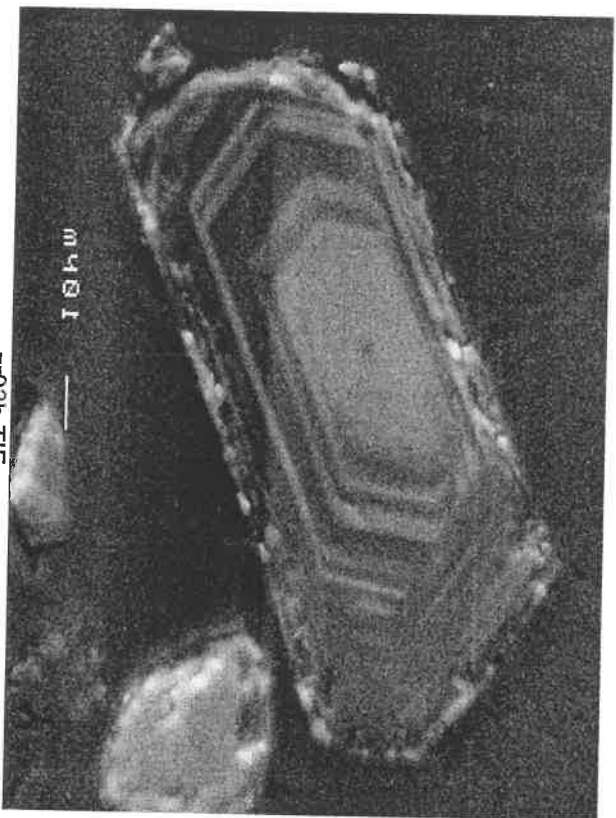


rjc15.tif

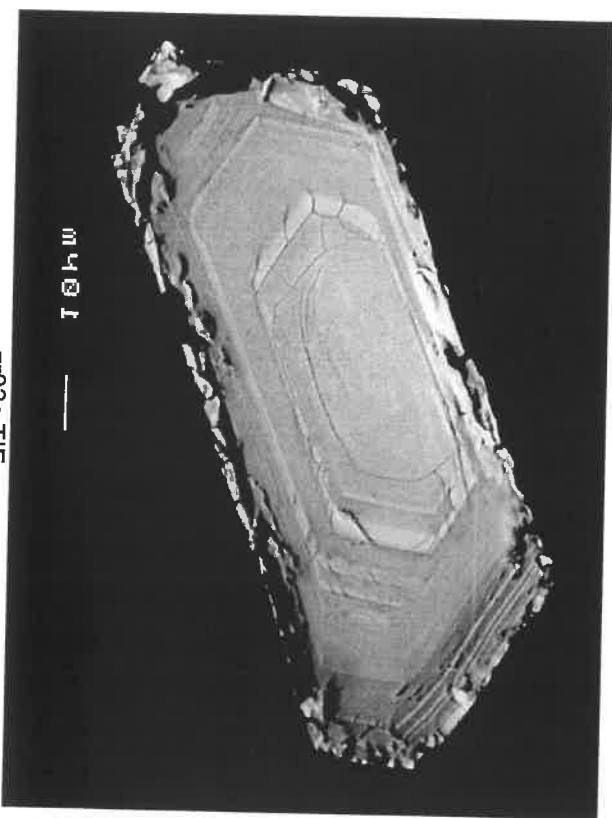
Population C: BSE images



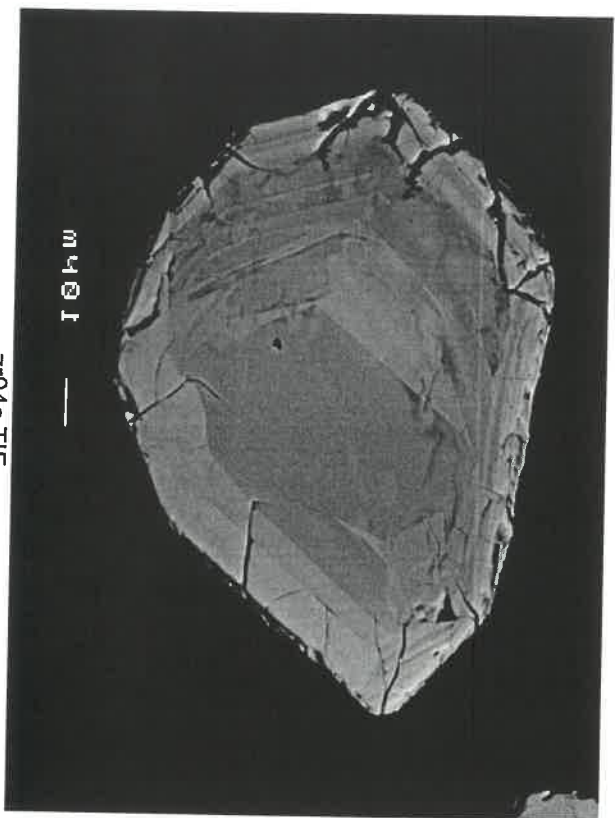
Population C: BSE images



2



Population C: BSE images



m401 —

zr04c.TIF



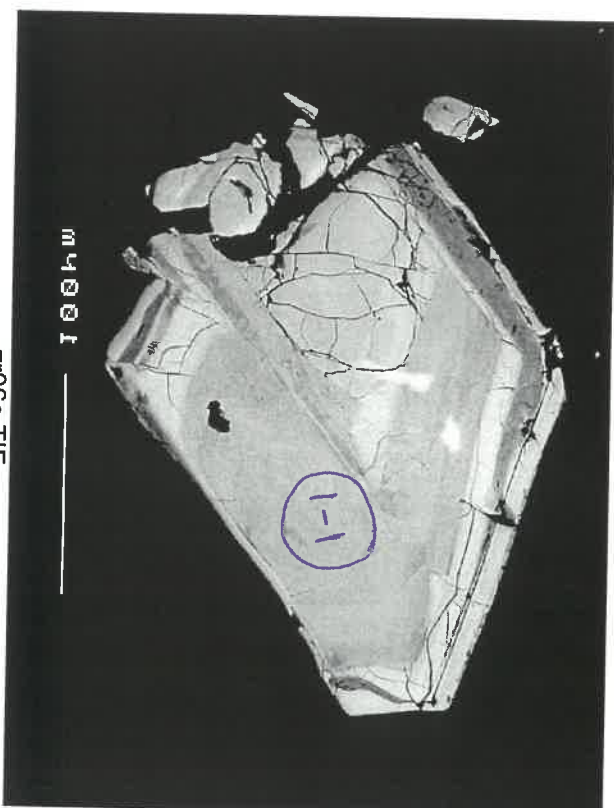
m401 —

zr05b.TIF



m401 —

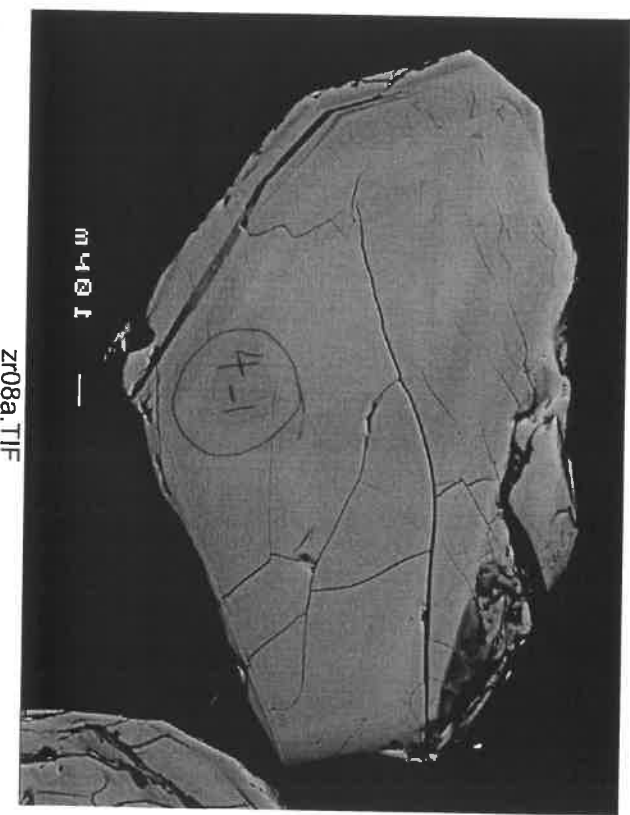
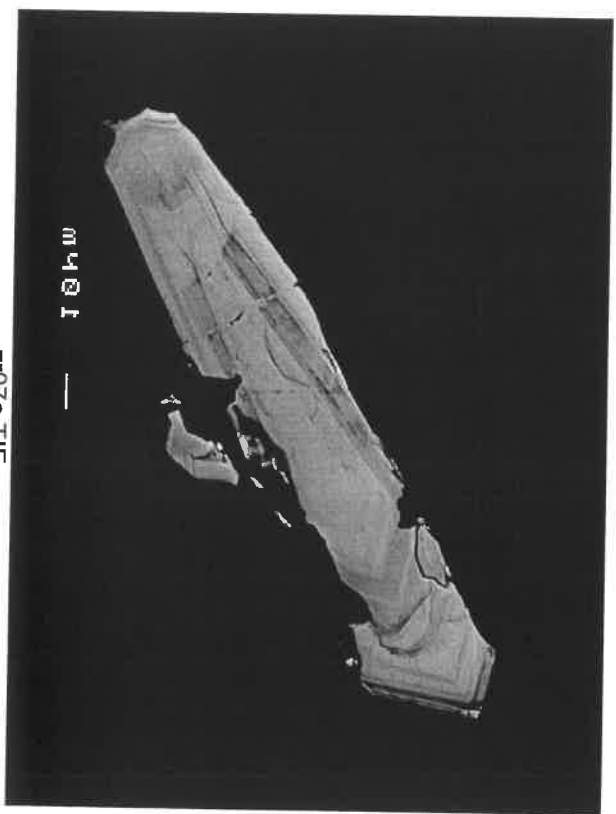
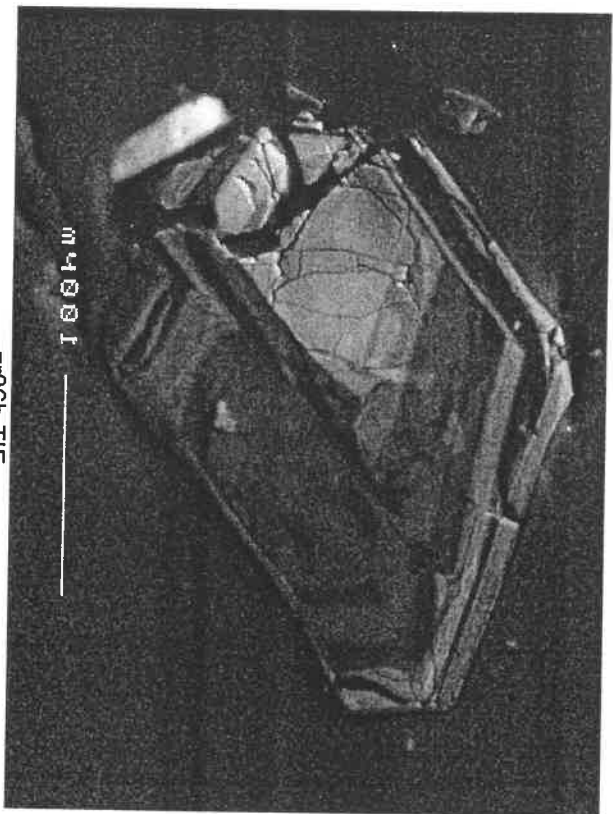
zr05a.TIF



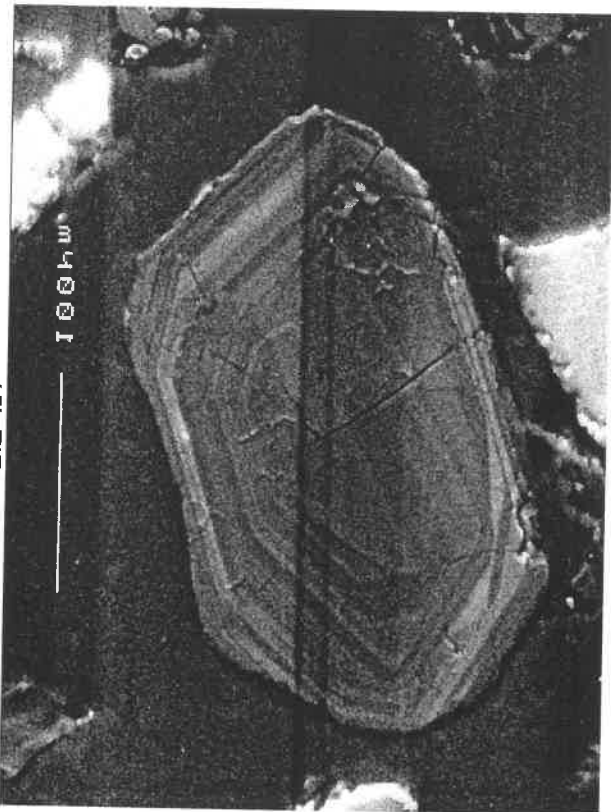
m401 —

zr06a.TIF

Population C: BSE images



Population C: BSE images



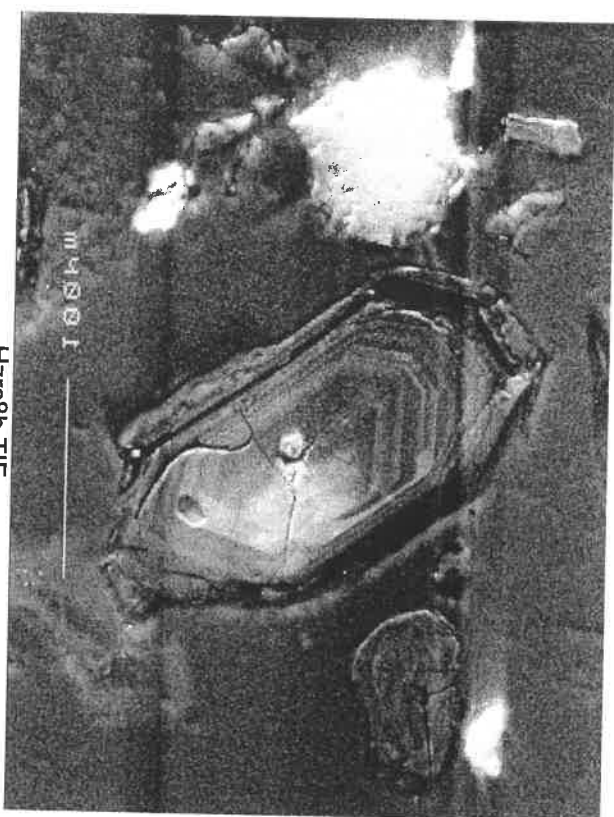
5



Population C: BSE images



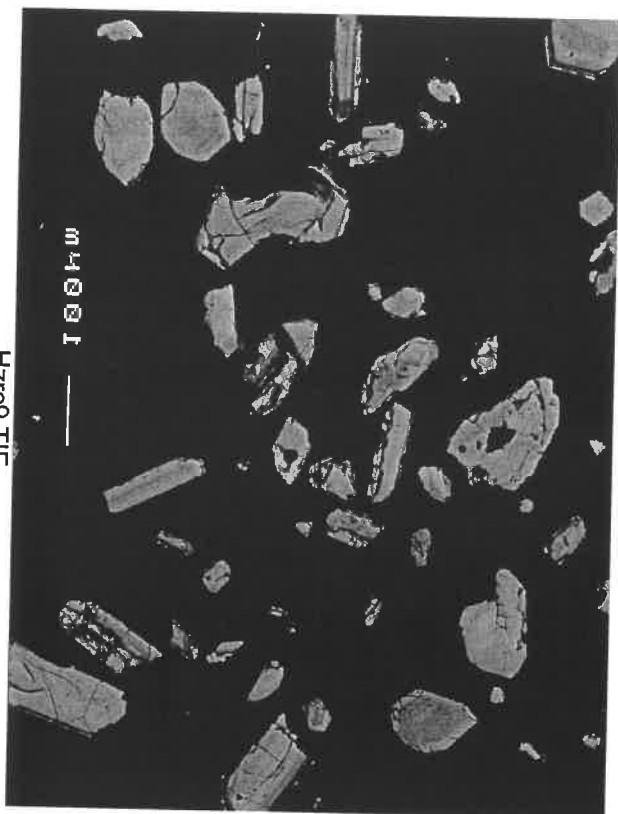
Population C: BSE images



m 400 l

—

Hzrc8b.TIF



m 400 l

—

Hzrc9.TIF

Population C: BSE images



rjc16.TIF

Population C: BSE images



—
—
—
—
—

rjc2.TIF

Population C: BSE images

